

Preliminary Kepler Lightcurves for RV Tauri and Semiregular Variables

Dr. Jennifer Cash
SC State University

MASC 2013

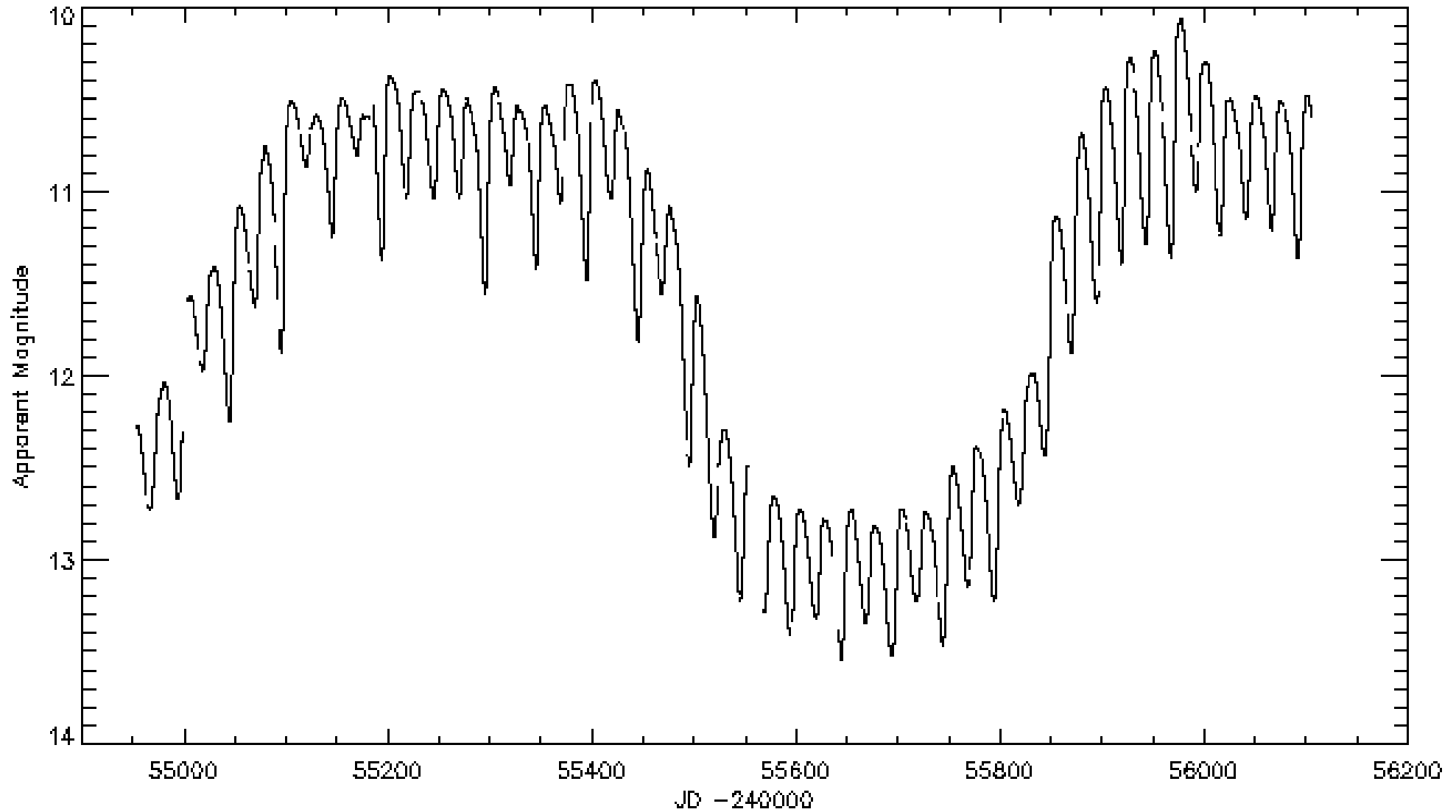
Candidate Stars

- 13 stars:

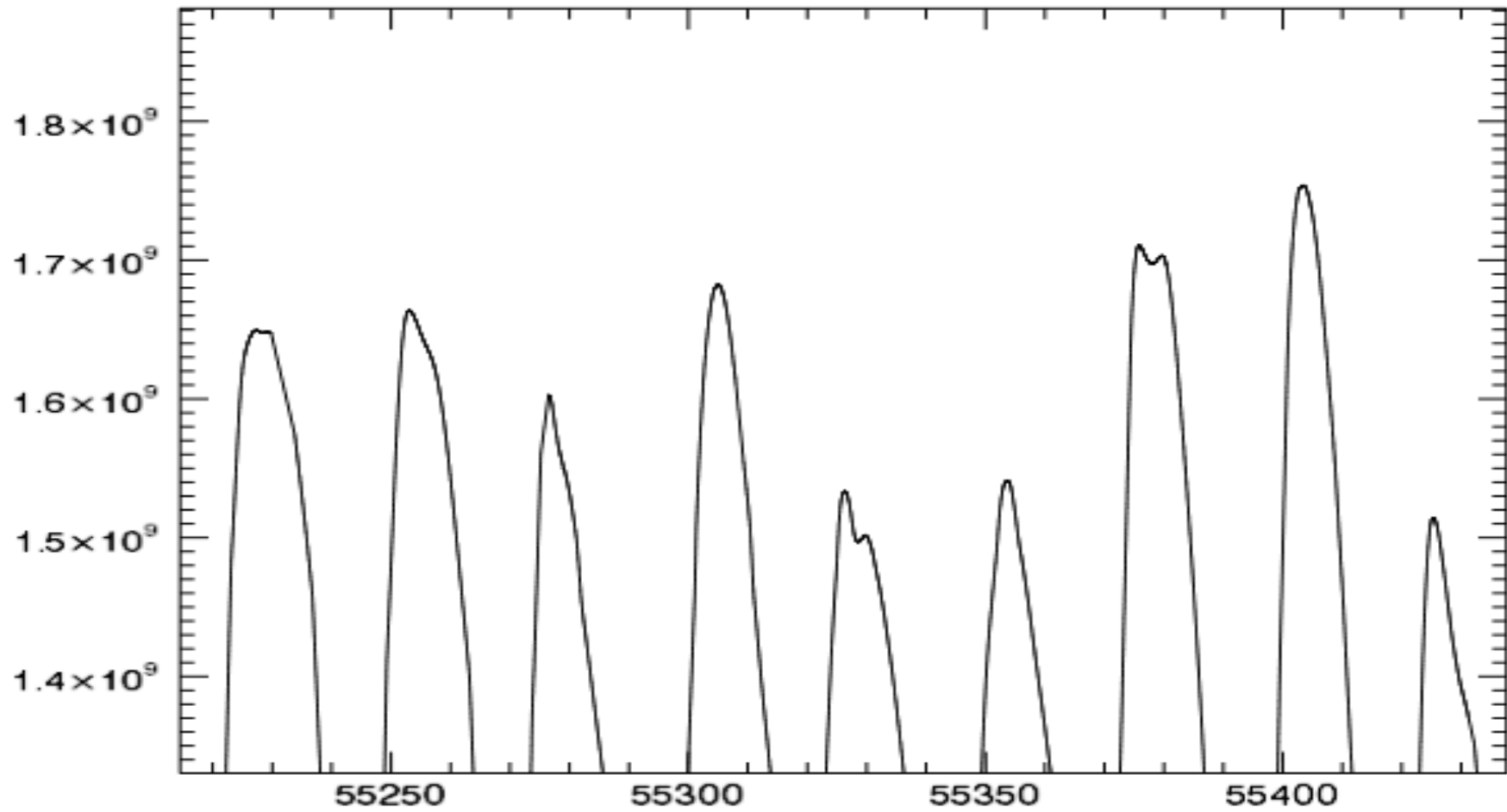
- Coverage

	Star													
	a	b	c	d	e	f	g	h	i	j	k	m	n	
	2437359	2569737	2570059	2570330	3431126	5176879	5614021	6127083	7466053	7842386	10034169	12215566	8748160	
	V616 Lyr	V607 Lyr	V621 Lyr	V630 Lyr	EG Lyr	BU Lyr	V588 Lyr	V1670 Cyg	DF Cyg	V1766 Cyg	V2412 Cyg	V1953 Cyg	V1253 Cyg	
Quarter														
0					EX	EX	EX		EX	EX	EX	EX	EX	
1	EX					STKL	STKL		EX_STKL	STKL		STKL		
2	EX_GO10000	GO10000		GO10000		STKL	STKL	EX	EX_STKL	STKL	GO10000	STKL_GO10000		
3	EX_GO10000	GO10000		GO10000		STKL	STKL	EX	EX_STKL	STKL	GO10000	STKL_GO10000		
4	EX_GO10000	GO10000		GO10000		STKL	STKL	EX	STKL	STKL	GO10000	STKL_GO10000		
5	EX_GO10000	GO10000		GO10000		STKL	STKL	EX	STKL	STKL	GO10000	STKL_GO10000		
6	EX_GO20020	GO20020	GO20020	GO20020	GO20005_GO20020	KL_GO20005_GO20020	KL_GO20005_GO20020	X_GO20005_GO20020	EX_STKL_GO20020	KL_GO20005_GO20020	GO20020	STKL_GO20020	GO20005	
7	EX_GO20020	GO20020	GO20020	GO20020	GO20005_GO20020	KL_GO20005_GO20020	KL_GO20005_GO20020	X_GO20005_GO20020	EX_GO20020	KL_GO20005_GO20020	Mod 3	STKL_GO20020	GO20005	
8	EX_GO20020	GO20020	GO20020	GO20020	GO20005_GO20020	KL_GO20005_GO20020	KL_GO20005_GO20020	X_GO20005_GO20020	EX_GO20020	KL_GO20005_GO20020	GO20020	STKL_GO20020	GO20005	
9	EX_GO20020	GO20020	GO20020	GO20020	GO20005_GO20020	KL_GO20005_GO20020	KL_GO20005_GO20020	X_GO20005_GO20020	EX_GO20020	KL_GO20005_GO20020	GO20020	STKL_GO20020	GO20005	
10	EX	STKL		GO30012	GO30008	GO30008	GO30008	GO30008	EX	STKL_GO30008		STKL	GO30008	
11	EX			GO30012	GO30008	GO30008	GO30008	GO30008	EX	STKL_GO30008		STKL	GO30008	
12	EX			GO30012	GO30008	GO30008	GO30008	GO30008	EX	STKL_GO30008		STKL	GO30008	
13	EX	STKL		GO30012	GO30008	GO30008	GO30008	GO30008	EX	STKL_GO30008		STKL	GO30008	

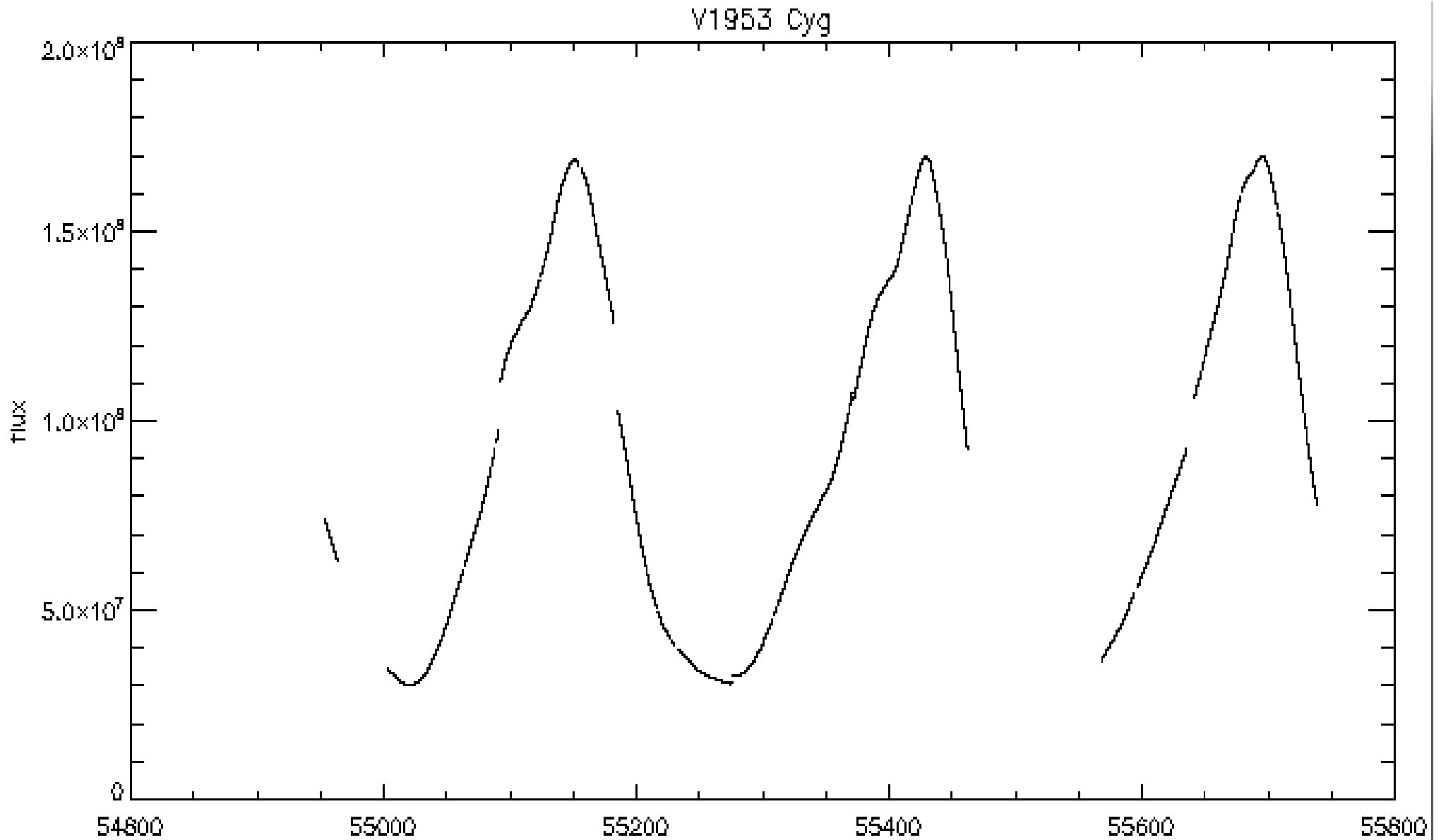
DF Cyg (i)



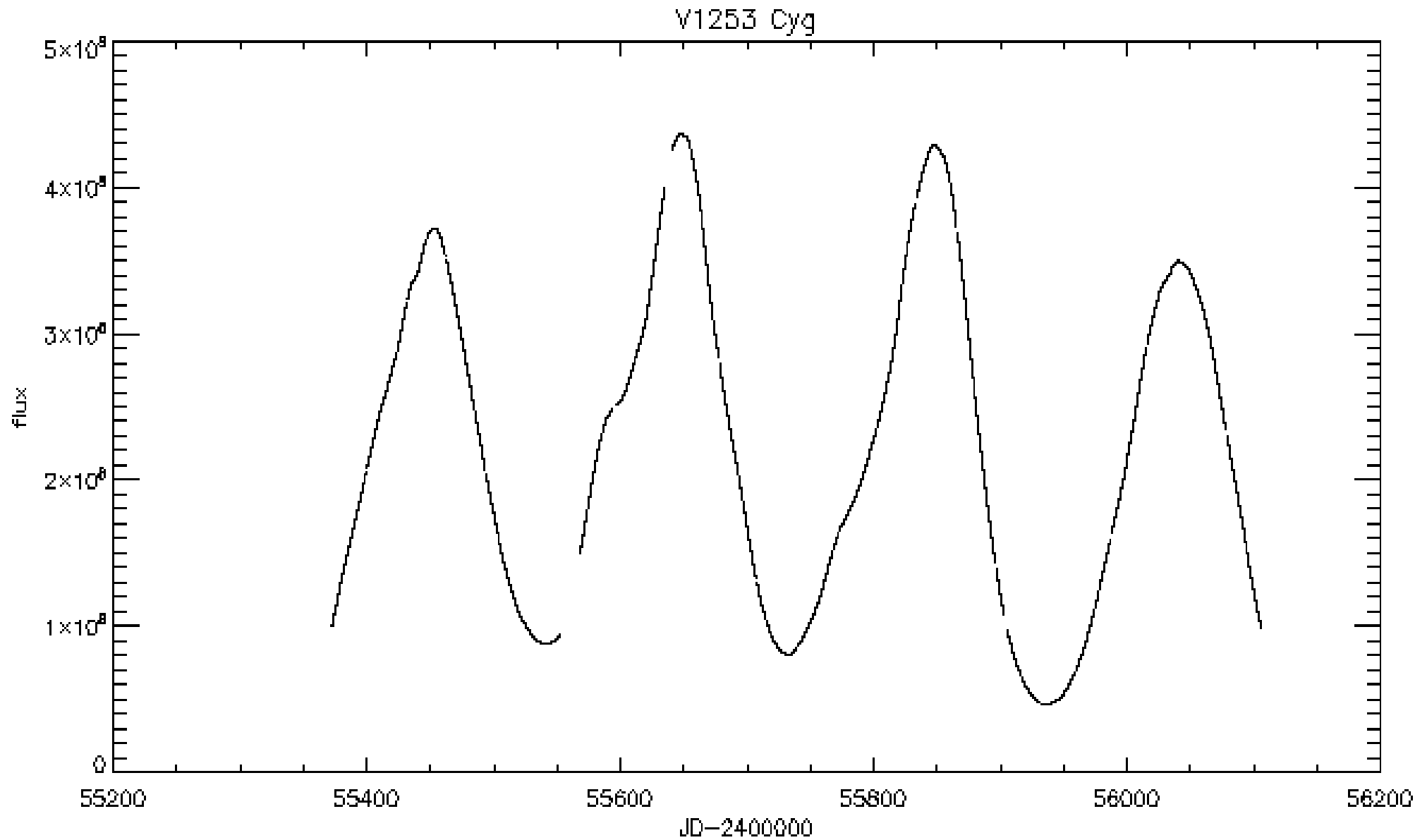
DF Cyg (i)



V2412 Cyg (k)

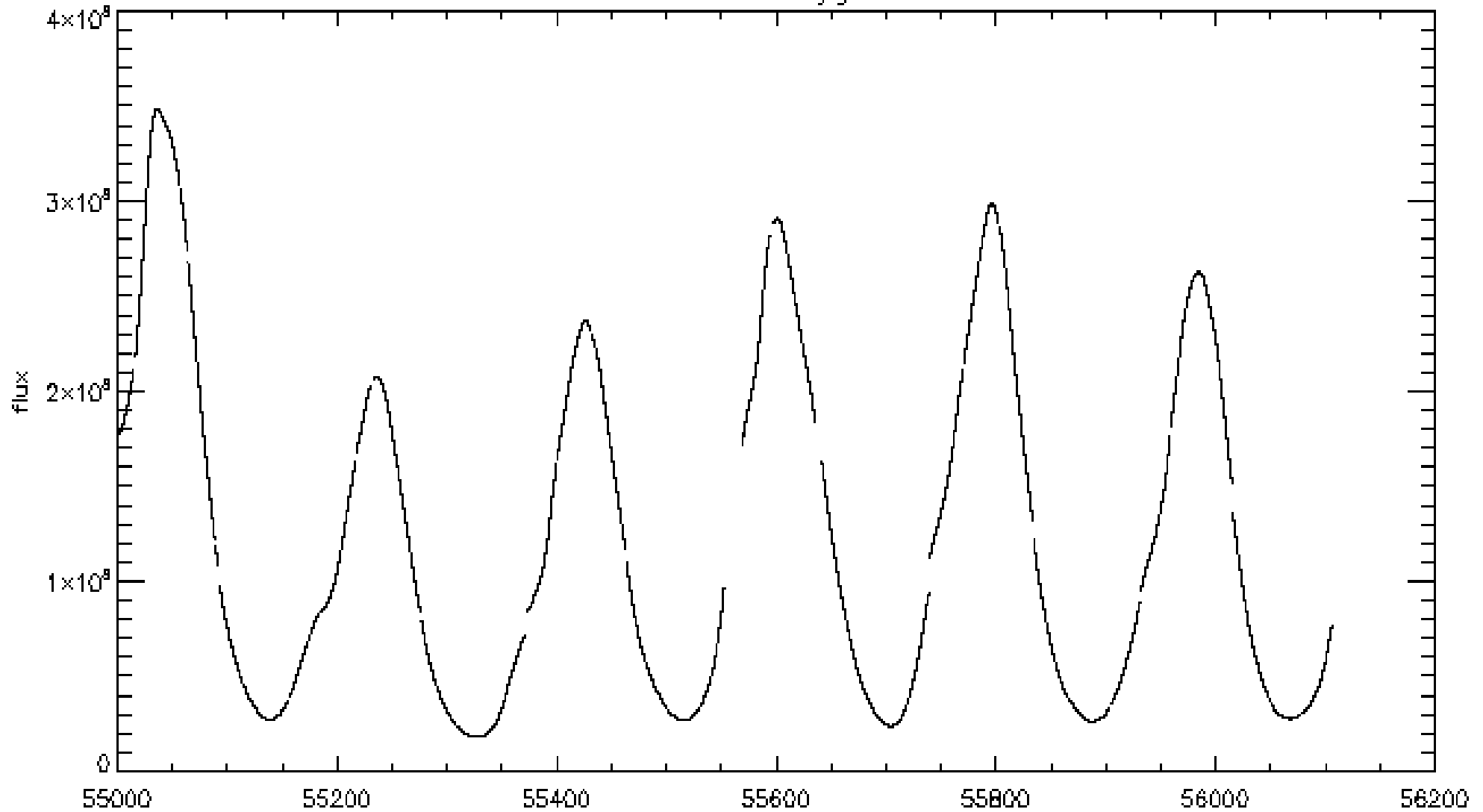


V1253 Cyg (n)



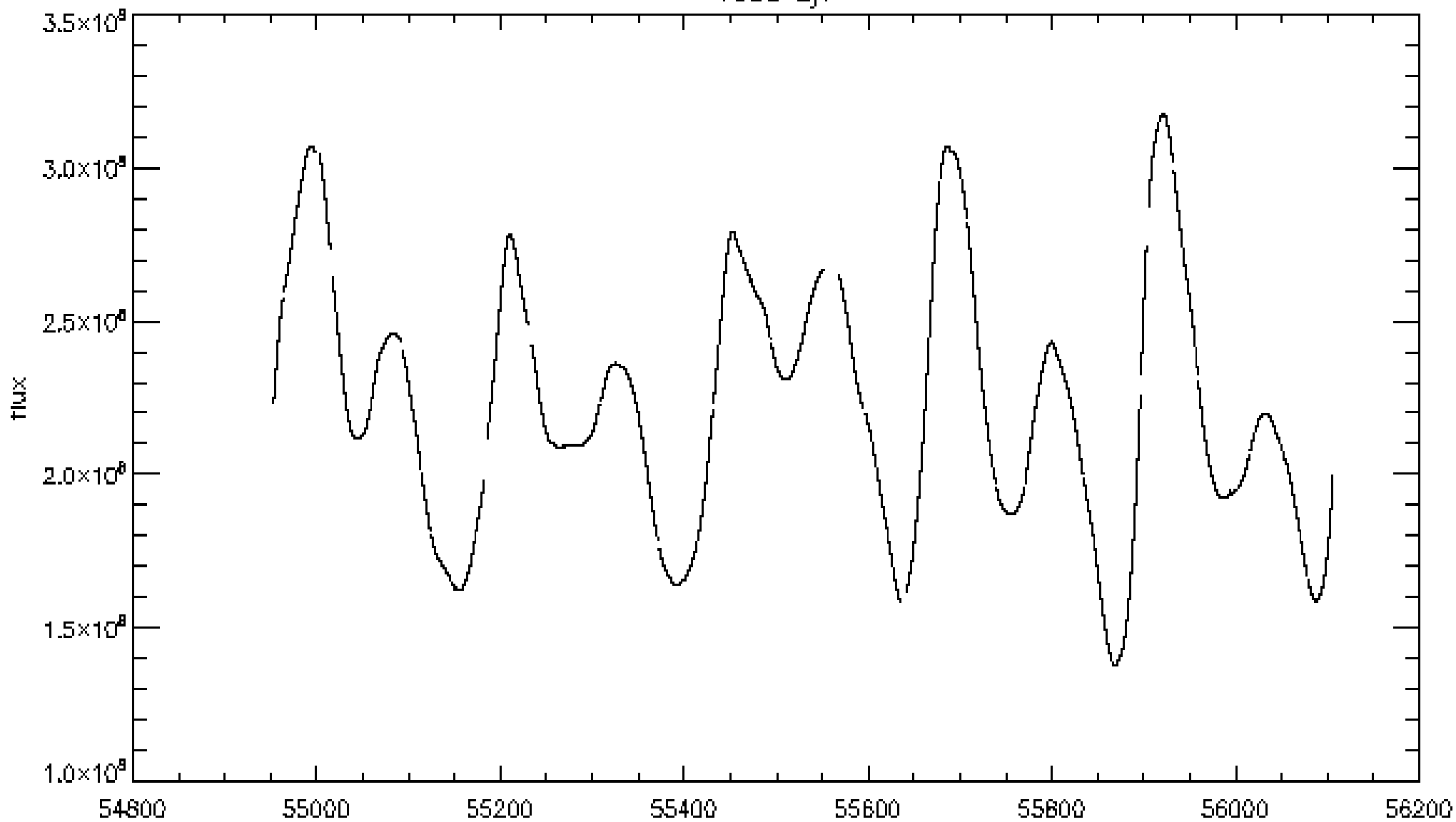
V1670 Cyg (h)

V1670 Cyg

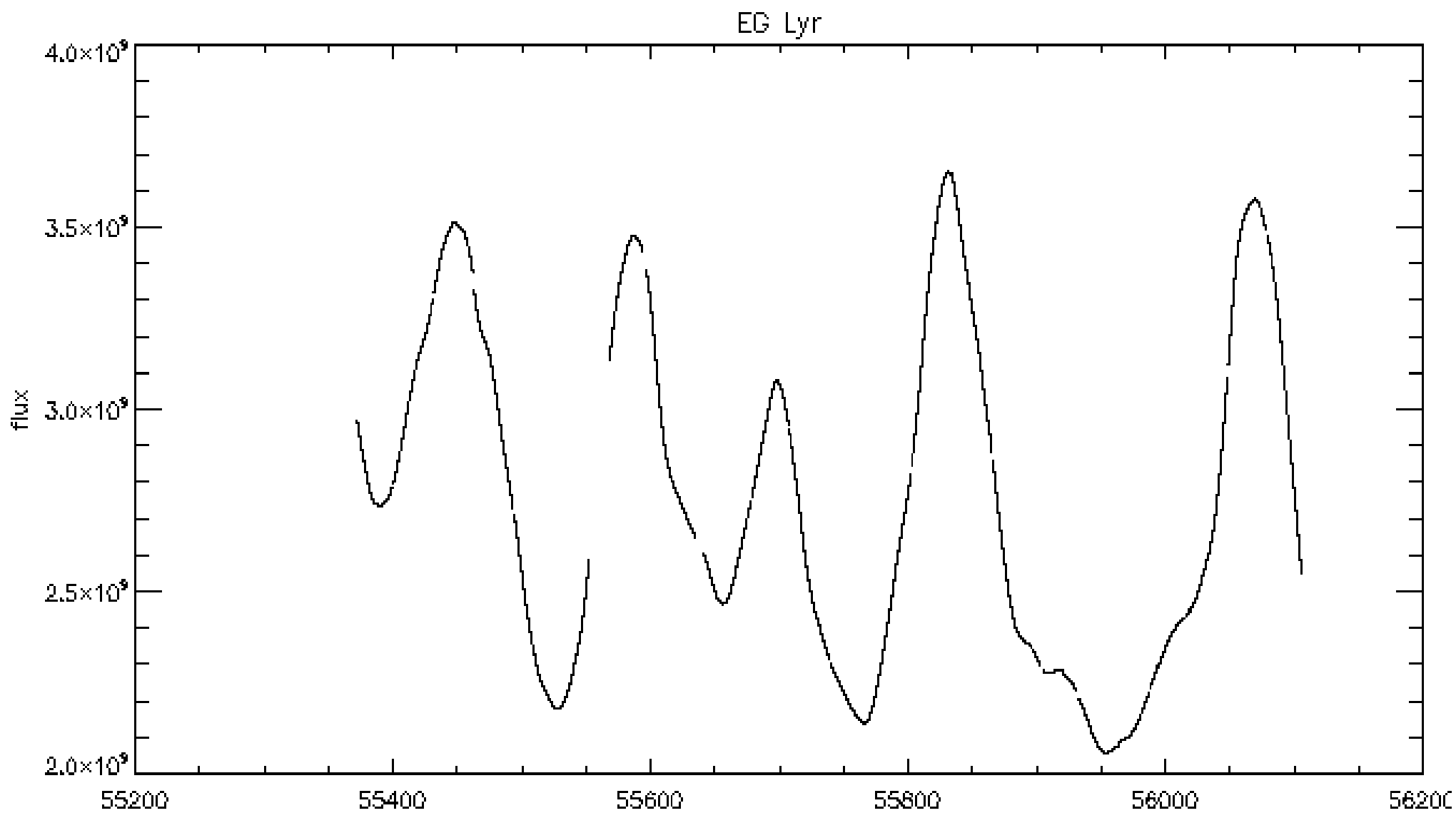


V588 Lyr (g)

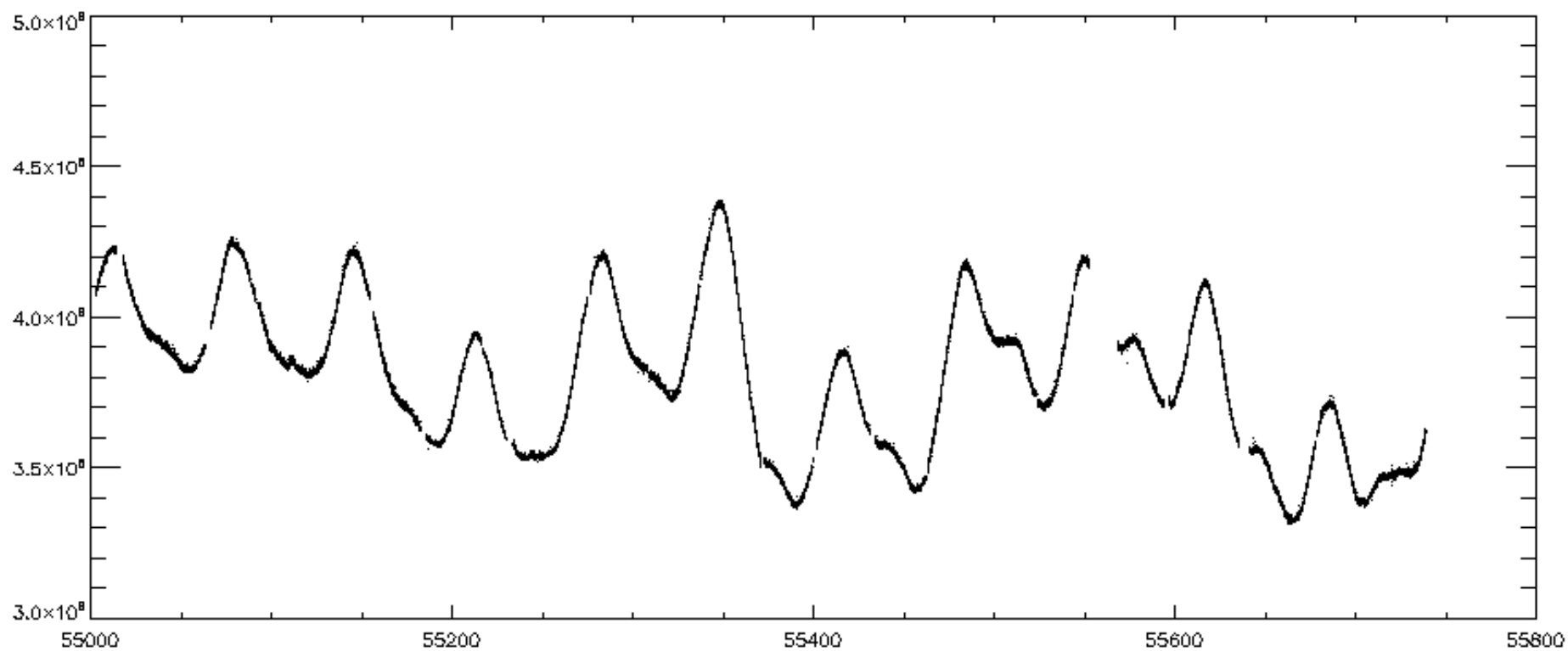
V588 Lyr



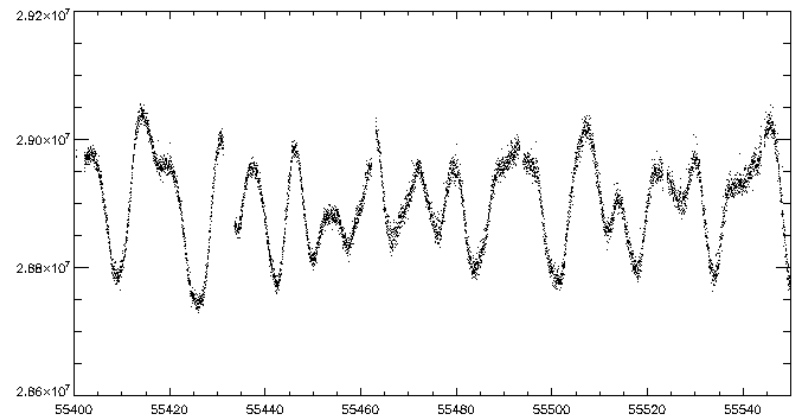
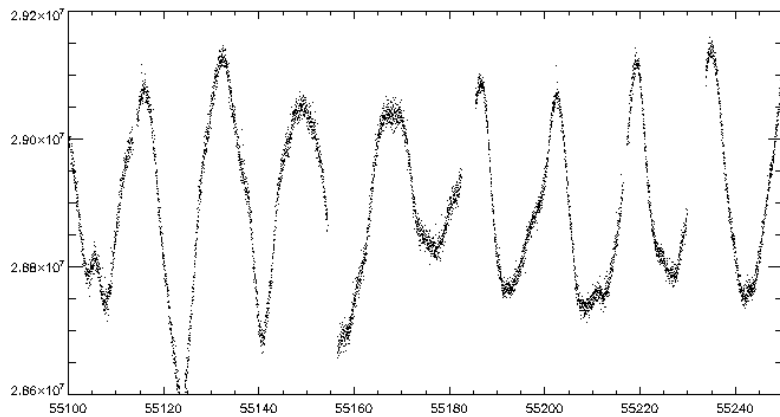
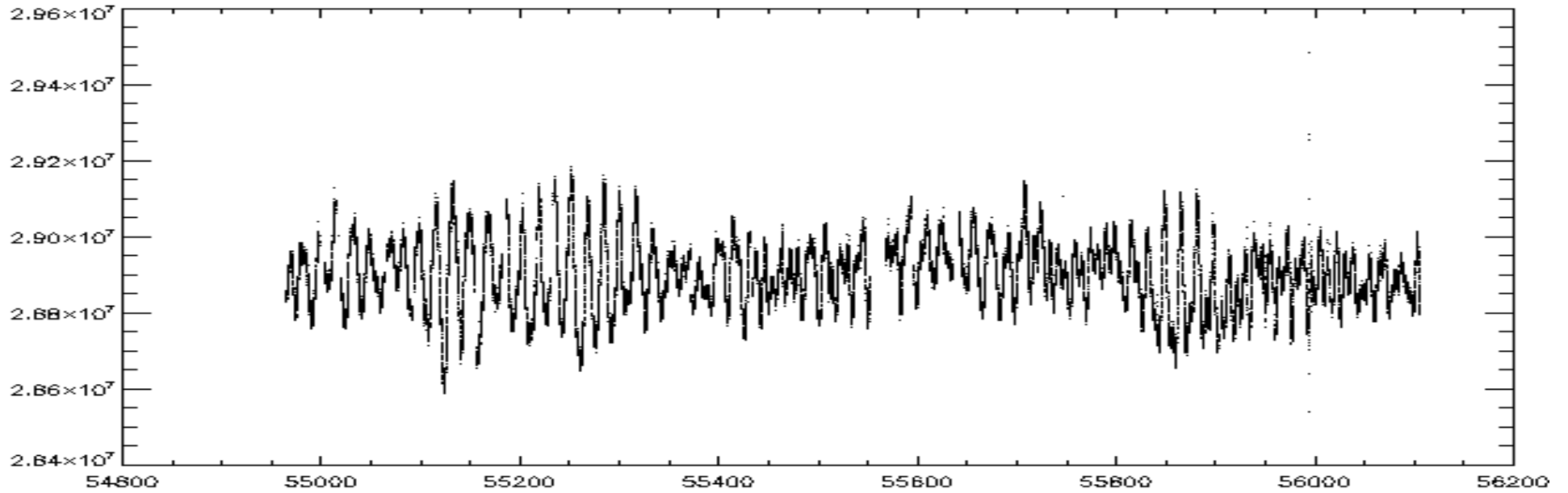
EG Lyr (e)



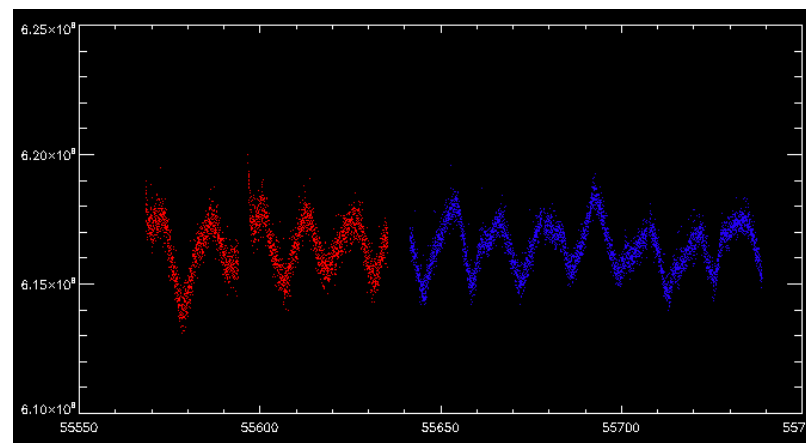
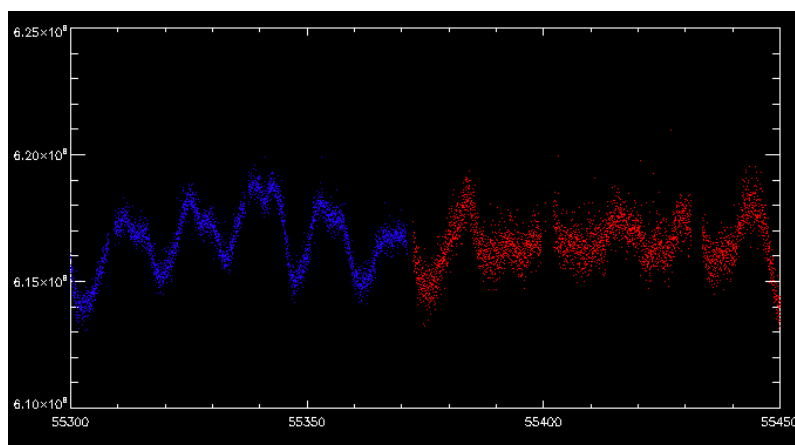
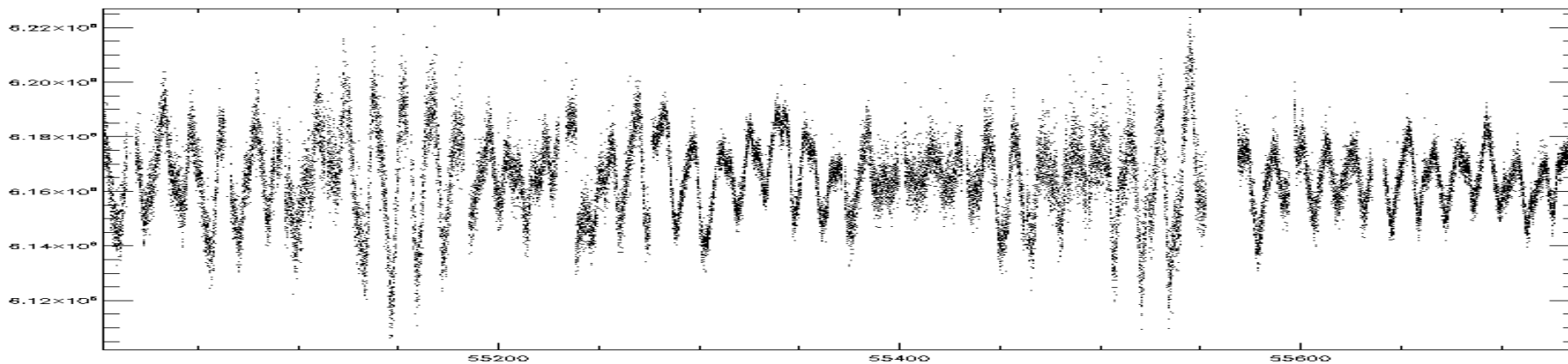
V630 Lyr (d)



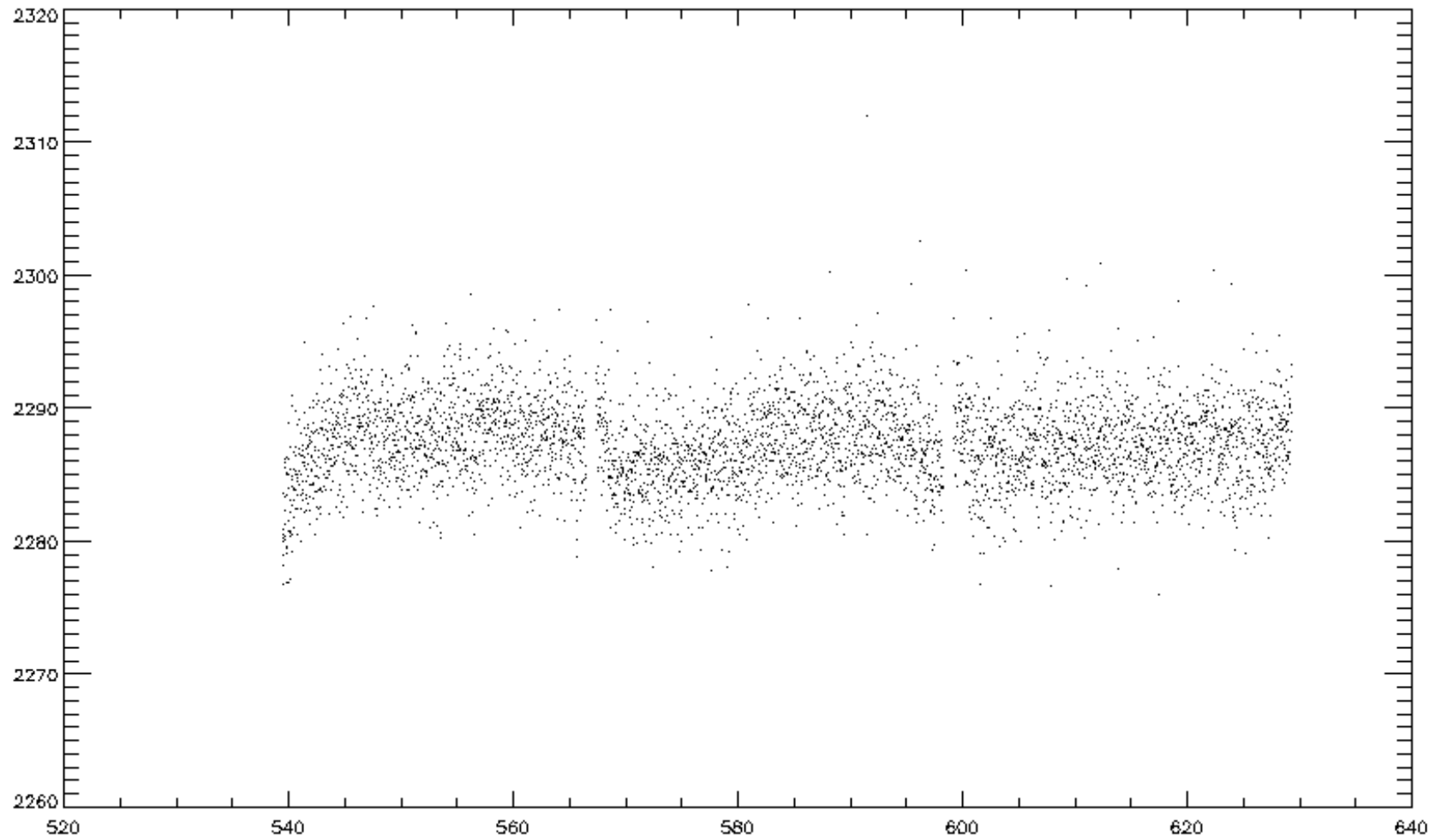
V616 Lyr (a)



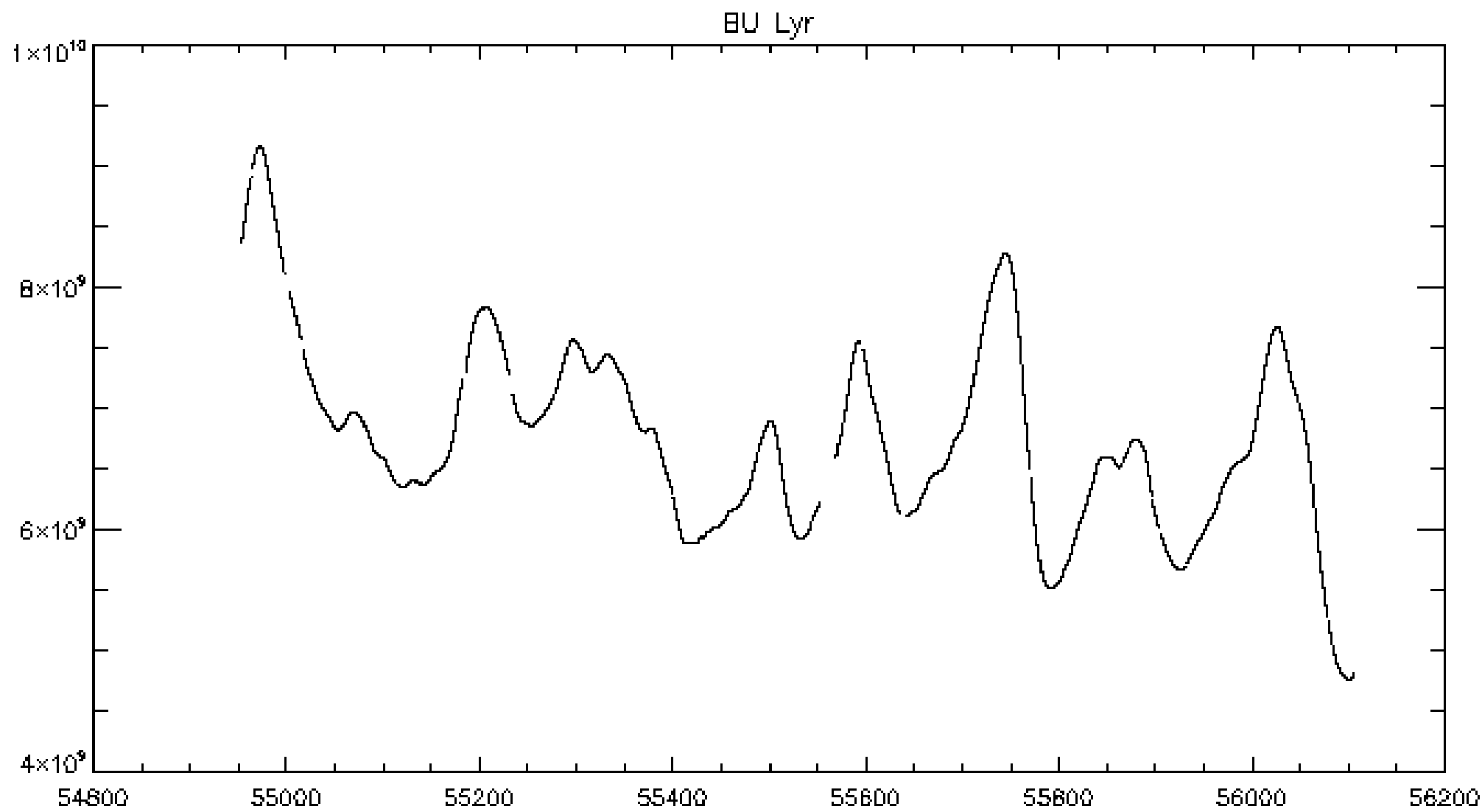
V607 Lyr (b)



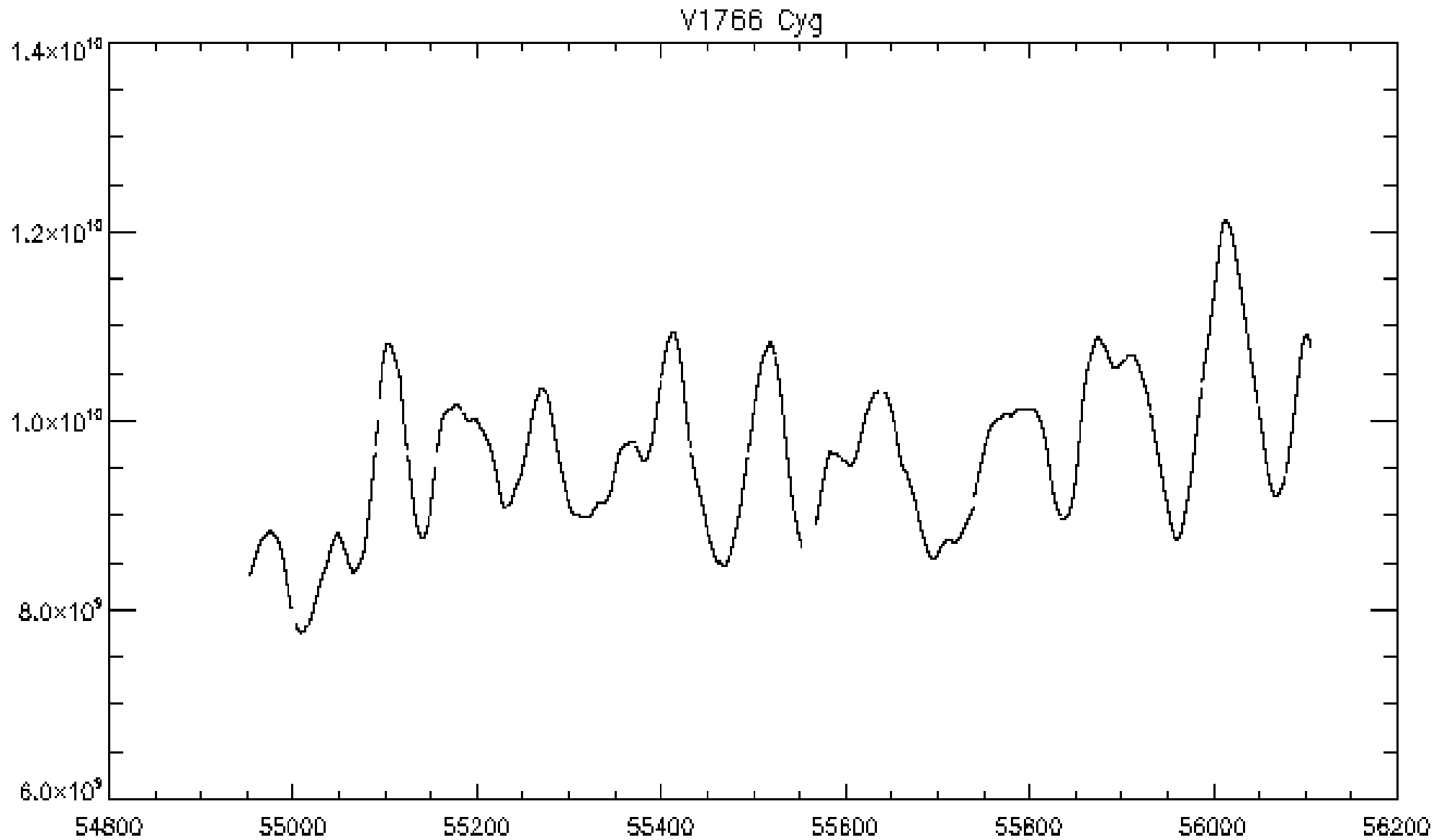
V621 Lyr (c)



BU Lyr (f)

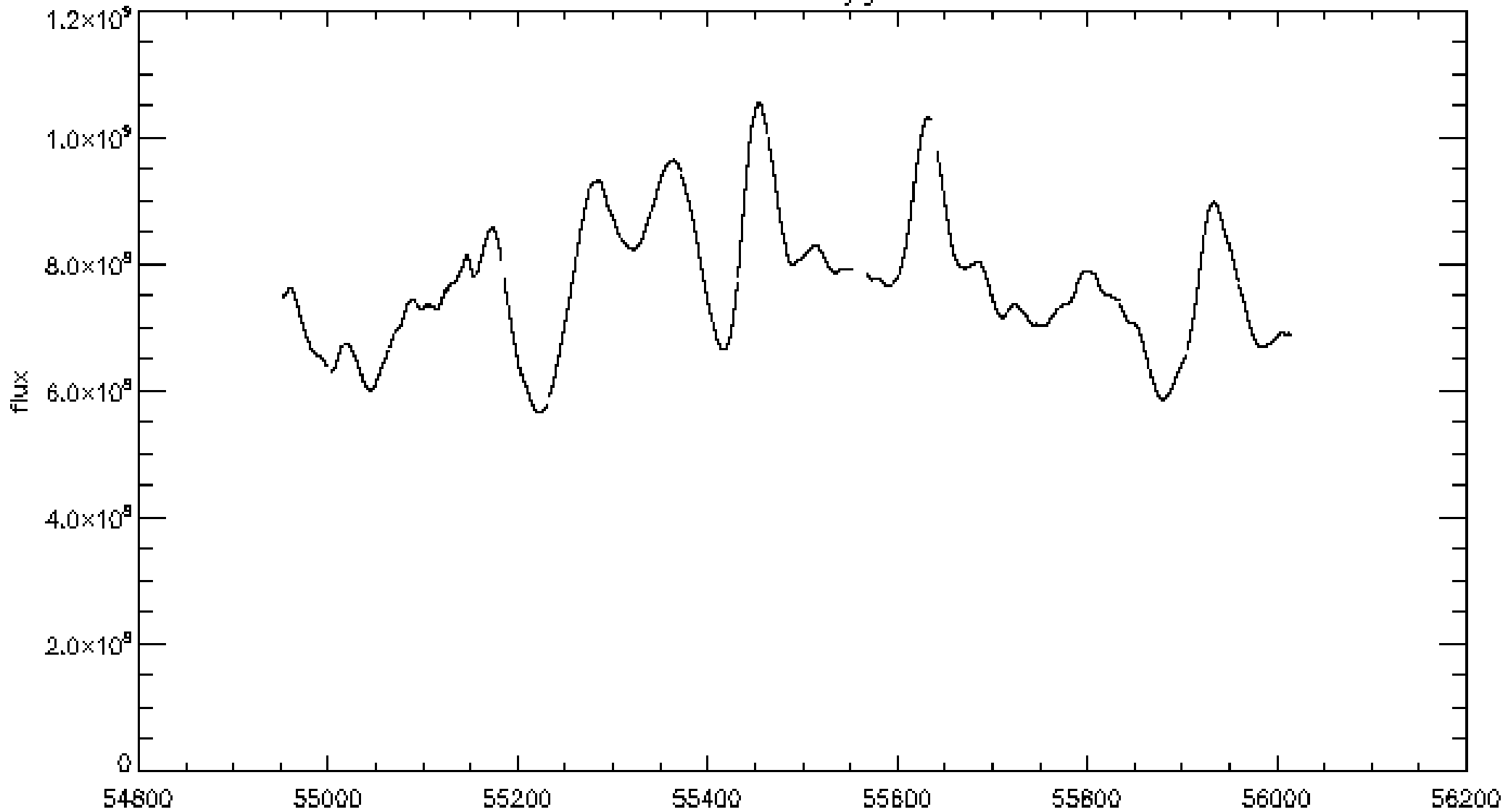


V1766 Cyg (j)

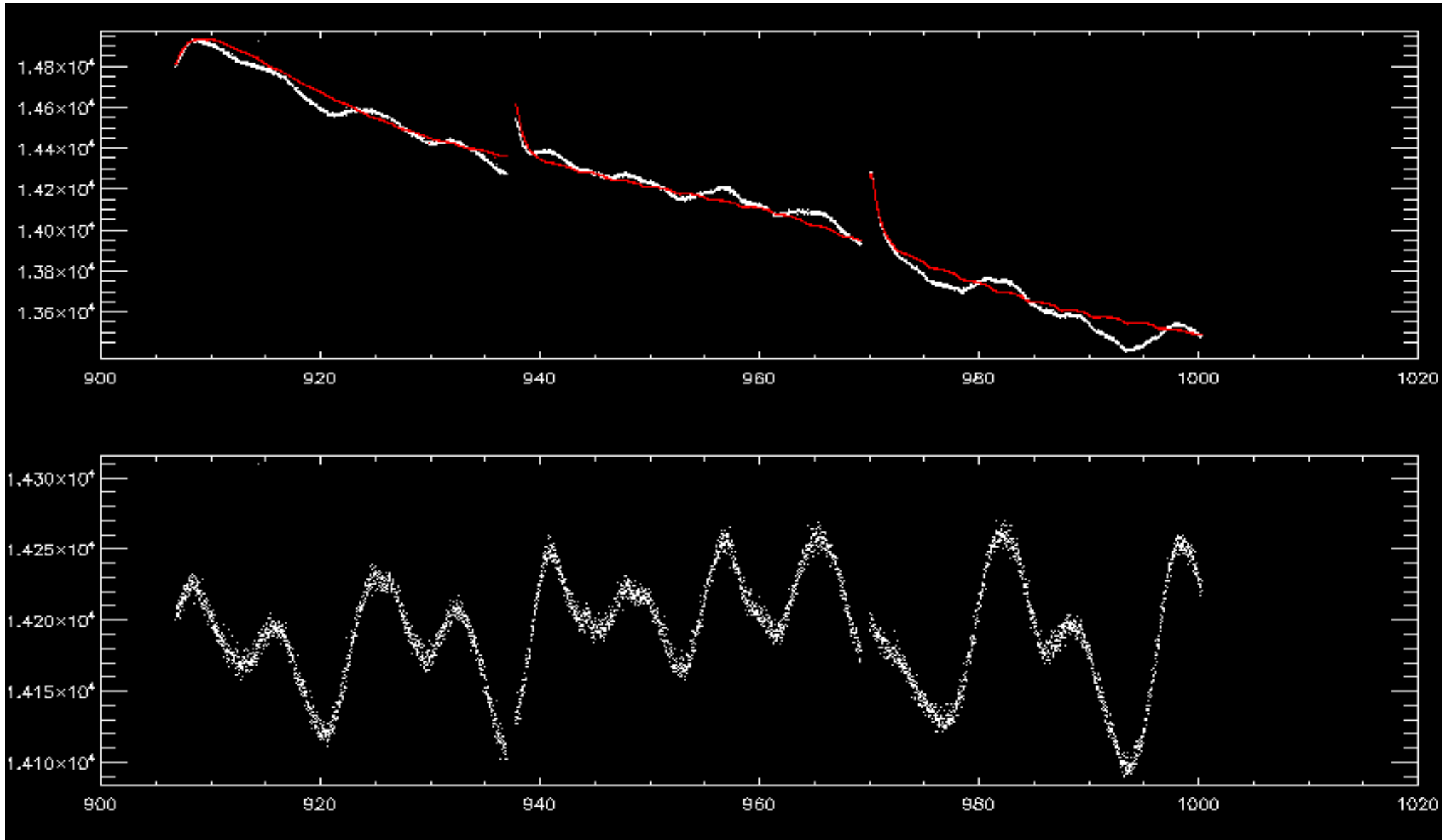


V1953 Cyg (m)

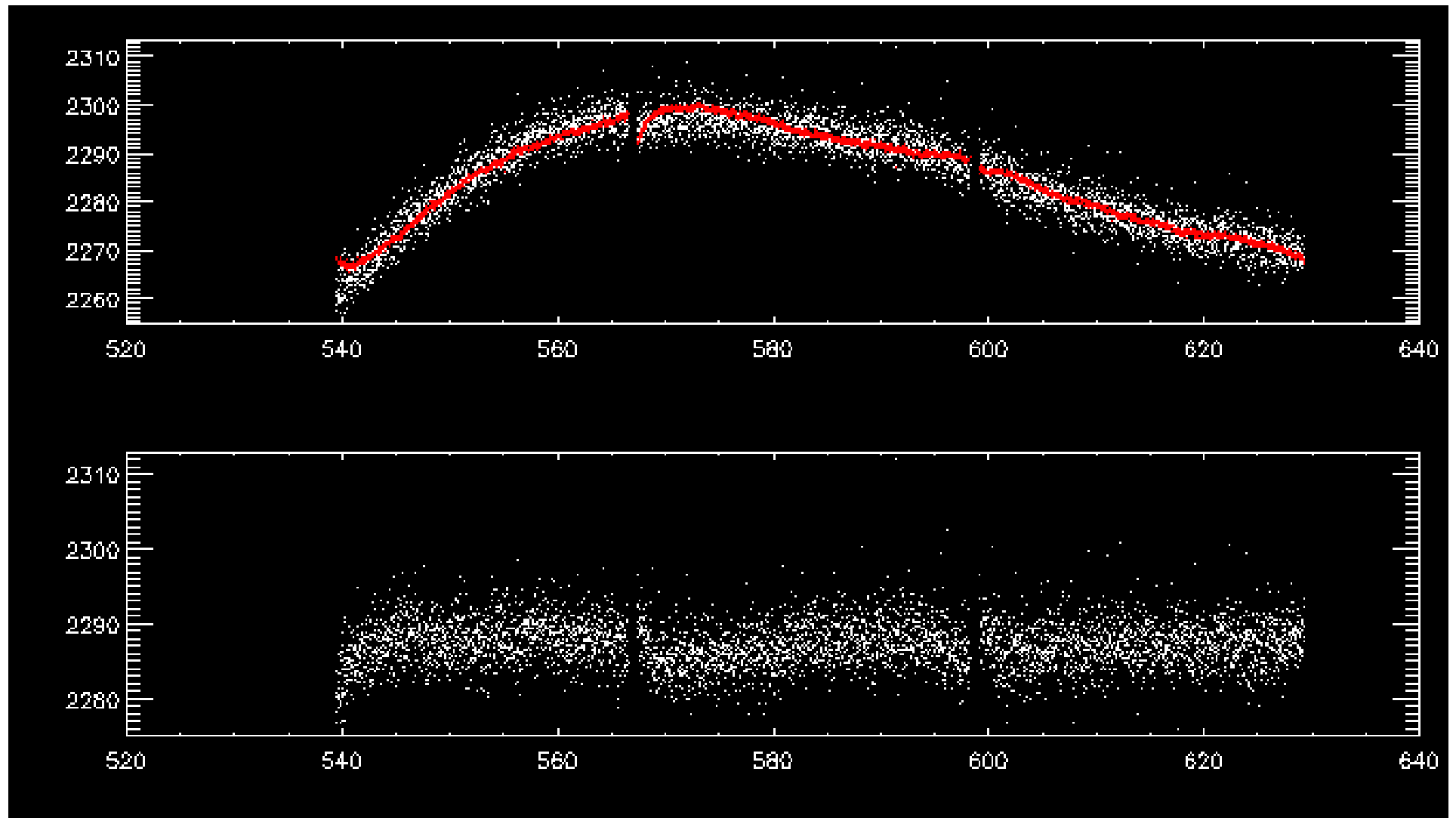
V1953 Cyg



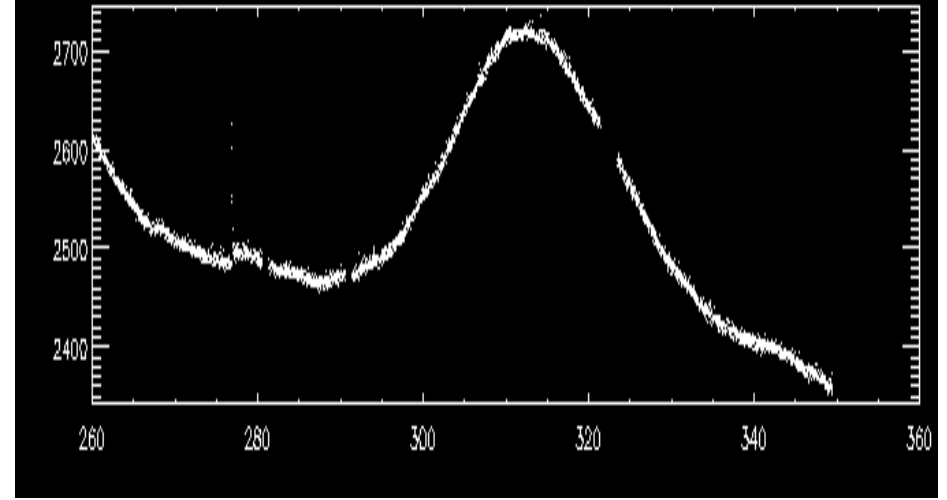
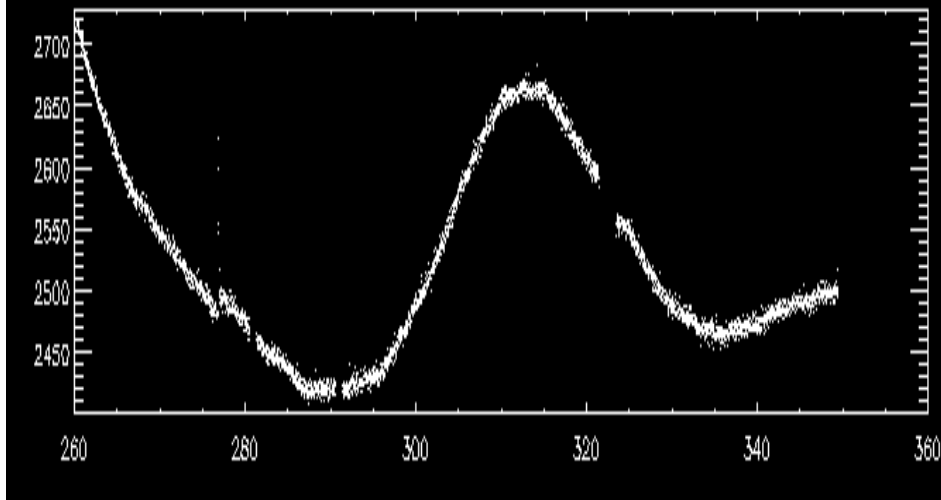
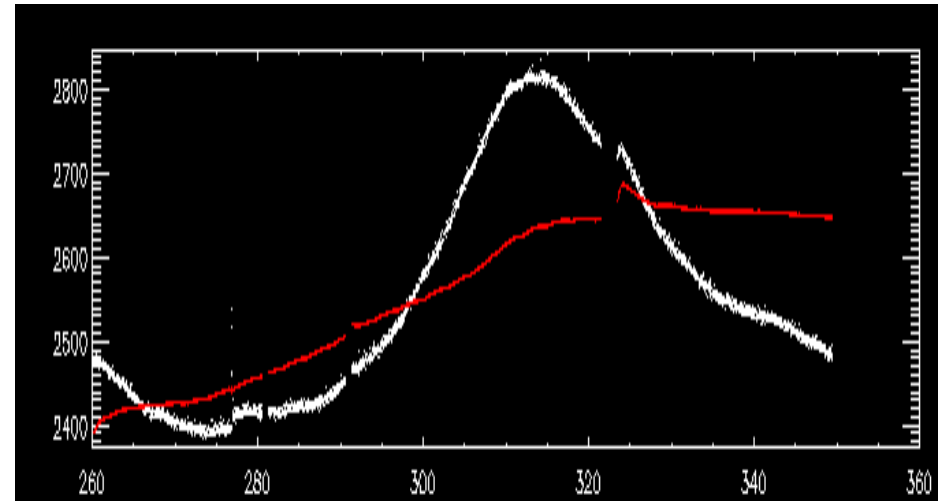
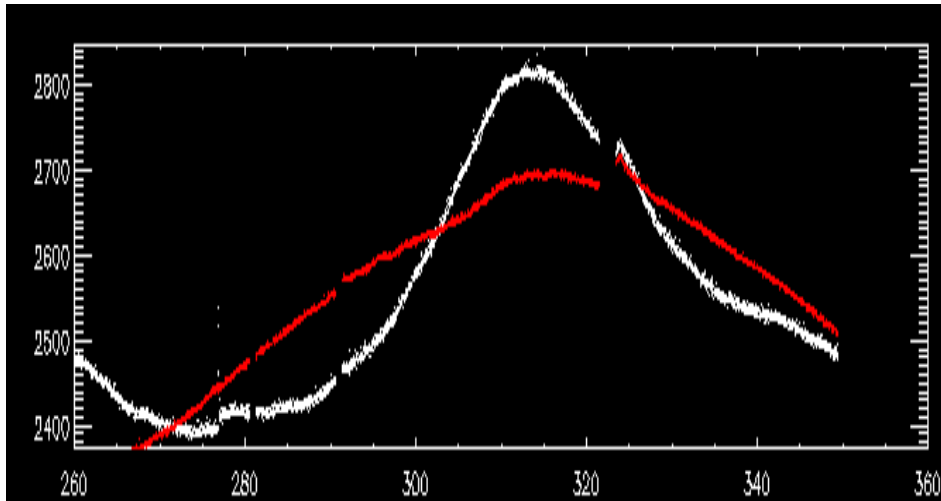
Cotrending of Raw Data



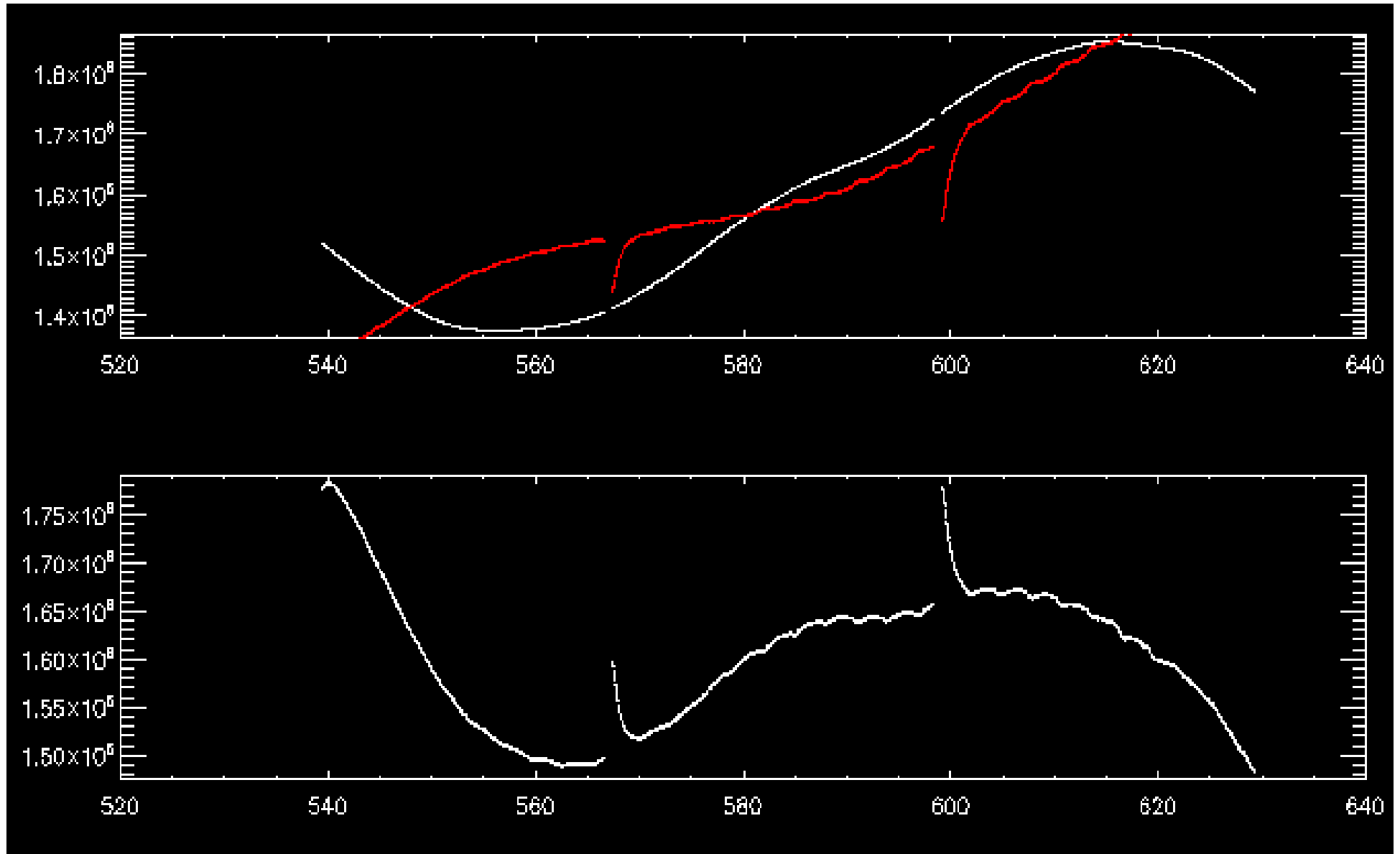
Cotrending of Raw Data



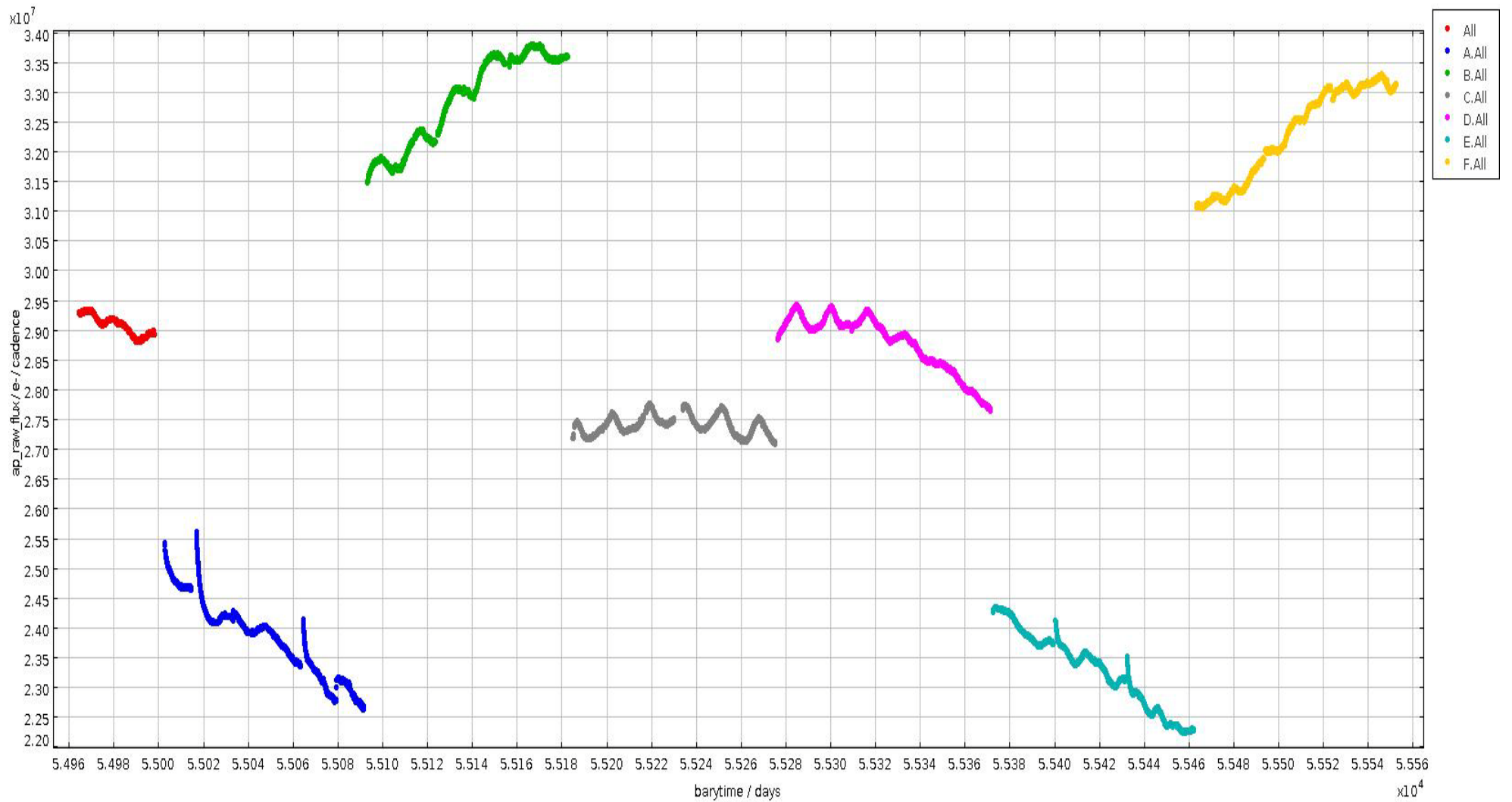
Cotrending of Raw Data



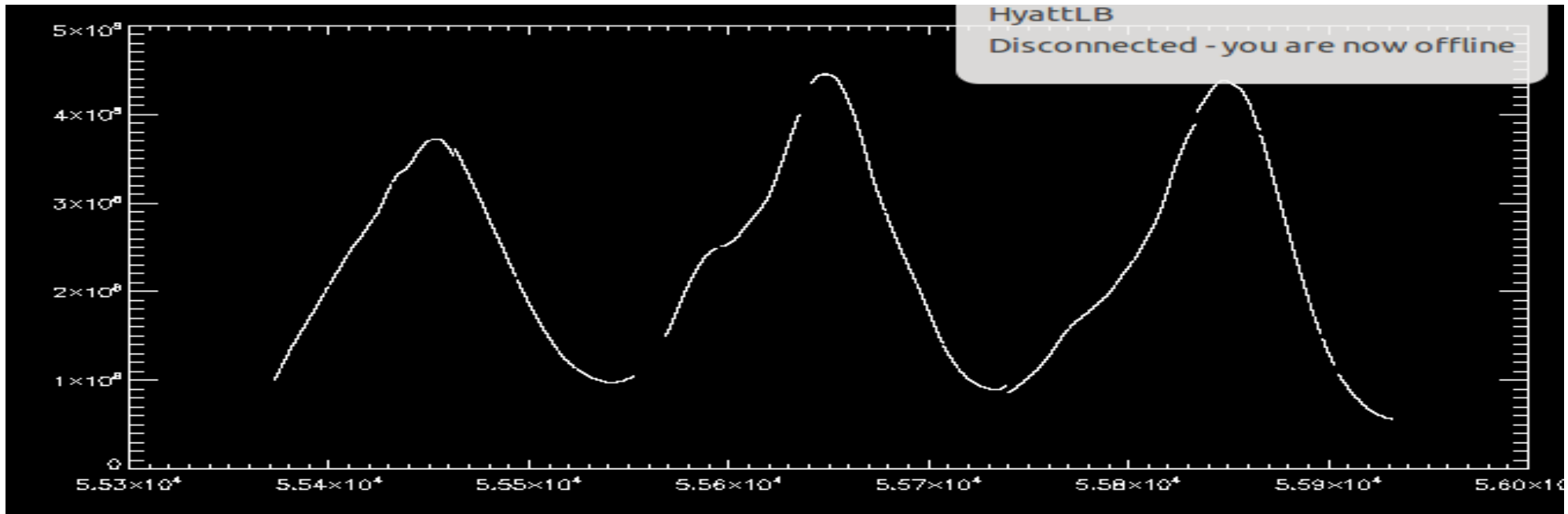
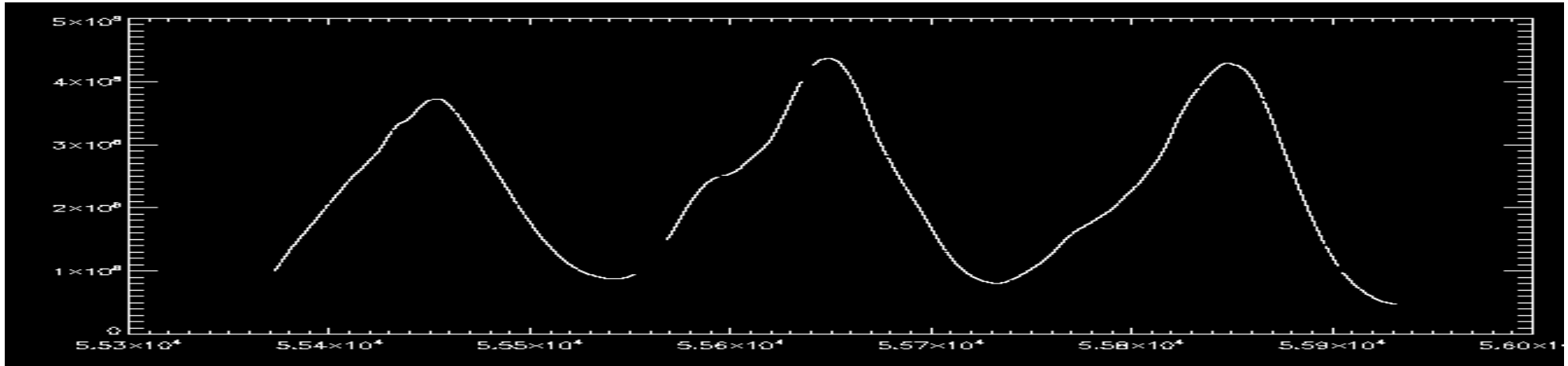
Cotrending of Raw Data



Raw Data



Shifting of Data



Shifting of data

